

стойкости до 1,5 раз в солевой (3 %-ный раствор NaCl) и до 2,7 раз в сернокислой (1 М H₂SO₄) средах по сравнению со сталью Ст3, что обусловлено твердо-растворным, зернограничным и деформационным механизмами упрочнения, и которые могут быть рекомендованы для упрочнения рабочих конструкций, узлов и механизмов, применяемых на предприятиях машиностроения, деревообрабатывающей и горнодобывающей промышленности.

СПИСОК ЛИТЕРАТУРЫ

1. Combined Vacuum-Arc Deposition of Protective Coatings on Basis of Transition Metals Nitrides Solid Solution / V. V. Uglov [et al.] // Proceedings of 9th Internat. Conf. on modification of materials with particle beams and plasma flows, Tomsk, Russia, 21–26 September 2008. – Tomsk, 2008. – P. 491–494.

2. Барковская, М. М. Влияние величины тока горения хромового катода на элементный и фазовый состав покрытий на основе системы Ti-Cr-N / М. М. Барковская, В. В. Ходасевич // Современные методы и технологии создания и обработки материалов. Технологии и оборудование механической и физико-технической обработки: в 3 кн. / редкол.: С. А. Астапчик (гл. ред.) [и др.]. – Минск: ФТИ НАН Беларуси 2014. – Кн. 2. – С. 55–64.

3. Thermal stability of nitride coatings formed by ion-plasma deposition / V. V. Uglov [et al.] // Vacuum. – 2007. – Vol. 81. – P. 1345–1347.

4. Термостабильность поверхностных слоев нитридов титана и хрома, сформированных конденсацией с ионной бомбардировкой на твердом сплаве Т5К10 / А. К. Кулешов [и др.]. // Перспективные материалы. – 2009. – № 2. – С. 68–73.

5. Барковская, М. М. Состав и коррозионная стойкость покрытий на основе нитридов титана и хрома / М. М. Барковская, В. В. Углов, В. В. Ходасевич // Поверхность. Рентгеновские, синхротронные и нейтронные исследования. – 2011. – № 4. – С. 104–109.

ФУНКЦИИ ГРИНА РЕЛЯТИВИСТСКИХ ДВУХЧАСТИЧНЫХ КВАЗИПОТЕНЦИАЛЬНЫХ УРАВНЕНИЙ В СЛУЧАЕ КОМПЛЕКСНЫХ ЗНАЧЕНИЙ ЭНЕРГИИ

А. В. Бужан, В. Н. Капшай

*Учреждение образования «Гомельский государственный университет
имени Ф. Скорины», г. Гомель, Республика Беларусь*

Двухчастичная система может быть описана в рамках квазипотенциального подхода квантовой теории поля. Релятивистские уравнения для сферически симметричных волновых функций, описывающие состояния рассеяния системы двух частиц равной массы m в импульсном представлении могут быть записаны в виде [1]:

$$\Psi_{(j)}(\chi_q, \chi) = \frac{\pi}{2m} \delta(\chi_q - \chi) - \frac{2m}{\pi} G_{(j)}(\chi_q, \chi) \int_0^{\infty} d\chi' V(\chi_q, \chi') \Psi_{(j)}(\chi_q, \chi'), \quad (1)$$

где индекс $j = \overline{1,4}$ соответствует одному из вариантов квазипотенциального подхода: $j=1$ ($j=3$) – уравнение Логунова–Тавхелидзе (модифицированное), $j=2$ ($j=4$) – уравнение Кадышевского (модифицированное). В данной работе рассмотрим случай $j=2$, в котором функция Грина уравнения Кадышевского в импульсном представлении имеет вид [2]

$$G_{(2)}(\chi_q, \chi) = \frac{1}{m^2 \operatorname{ch} \chi (2 \operatorname{ch} \chi - 2 \operatorname{ch} \chi_q - i0)}, \quad (2)$$

в котором $2m \operatorname{ch} \chi_q = 2E_q$ есть энергия двухчастичной системы.

Волновые функции, функции Грина и потенциалы в импульсном представлении связаны с соответствующими величинами в релятивистском конфигурационном представлении следующими соотношениями:

$$\psi_{(j)}(\chi_q, r) = \int_0^{+\infty} d\chi \sin(\chi mr) \Psi_{(j)}(\chi_q, \chi), \quad (3)$$

$$\begin{aligned} G_{(j)}(\chi_q, r, r') &= -\frac{2m}{\pi} \int_0^{+\infty} d\chi \sin(\chi mr) G_{(j)}(\chi_q, \chi) \sin(\chi mr') = \\ &= -\frac{m}{\pi} \left[\int_0^{+\infty} d\chi \cos(\chi m(r-r')) G_{(j)}(\chi_q, \chi) - \int_0^{+\infty} d\chi \cos(\chi m(r+r')) G_{(j)}(\chi_q, \chi) \right], \quad (4) \end{aligned}$$

$$V(\chi, \chi') = \int_0^{+\infty} dr \sin(\chi mr) V(r) \sin(\chi' mr). \quad (5)$$

После перехода к релятивистскому конфигурационному представлению, полученные интегральные уравнения могут быть решены численно. Например, для поиска резонансов сечений рассеяния может быть использован метод комплекс-скейлинга [3], в котором выполняется комплексный поворот переменной интегрирования и значения энергий, а значит и быстроты χ_q также становятся комплексными.

Отметим, что функция Грина (2) является периодической в комплексной плоскости по переменной χ_q с периодом $2i\pi$. Поэтому функцию Грина достаточно рассмотреть в области

$$0 \leq \operatorname{Im} \chi_q < 2\pi. \quad (6)$$

Для нахождения функции Грина $G_{(2)}(\chi_q, r, r')$ в релятивистском конфигурационном представлении воспользуемся свойством периодичности функции Грина (2) также по переменной χ .

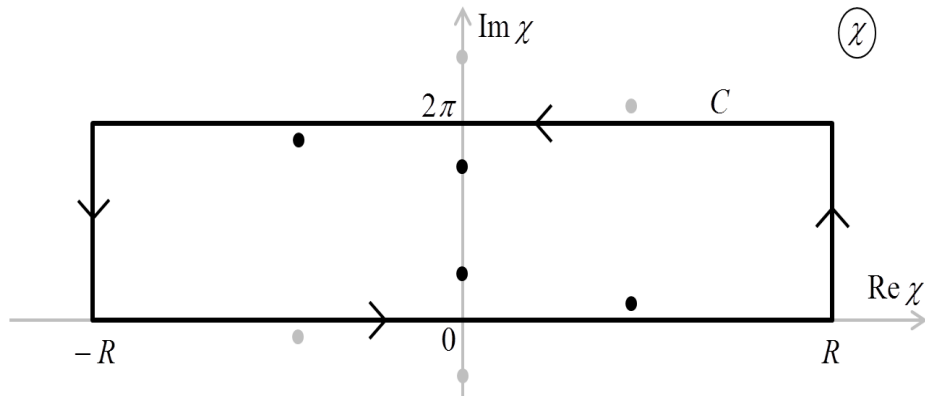


Рисунок 1 – Полюса функции Грина (2) при $\text{Re } \chi_q > 0, \text{Im } \chi_q > 0$

Для того чтобы вычислить интегралы в выражении (4), рассмотрим интеграл от функции $\cos(\chi mr)G_{(2)}(\chi_q, \chi)$, по замкнутому контуру C , имеющему вид прямоугольника со сторонами $2R$ и 2π (см. рисунок 1). Для интеграла справедливо соотношение

$$\oint_C d\chi \cos(\chi mr)G_{(2)}(\chi_q, \chi) = \int_{-R}^{+R} d\chi \cos(\chi mr)G_{(2)}(\chi_q, \chi) + \int_{+R}^{+R+2i\pi} d\chi \cos(\chi mr)G_{(2)}(\chi_q, \chi) + \int_{+R+2i\pi}^{-R+2i\pi} d\chi \cos(\chi mr)G_{(2)}(\chi_q, \chi) + \int_{-R+2i\pi}^{-R} d\chi \cos(\chi mr)G_{(2)}(\chi_q, \chi). \quad (7)$$

Третье слагаемое можно представить в виде

$$\int_{+R+2i\pi}^{-R+2i\pi} d\chi \cos(\chi mr)G_{(2)}(\chi_q, \chi) = -\text{ch}(2\pi mr) \int_{-R}^{+R} d\chi \cos(\chi mr)G_{(2)}(\chi_q, \chi). \quad (8)$$

При переходе к пределу $R \rightarrow \infty$ второе и четвёртое слагаемые выражения (7) стремятся к нулю. С учётом (8) интеграл по замкнутому контуру связан с искомыми интегралами выражения (4) соотношением

$$\oint_C d\chi \cos(\chi mr)G_{(2)}(\chi_q, \chi) = (1 - \text{ch}(2\pi mr)) 2 \int_0^{+\infty} d\chi \cos(\chi mr)G_{(2)}(\chi_q, \chi). \quad (9)$$

Левую часть этого равенства можно вычислить, используя теорему о вычетах:

$$\oint_C d\chi \cos(\chi mr)G_{(2)}(\chi_q, \chi) = 2\pi i \sum_n \text{Res}[\cos(\chi_n mr)G_{(2)}(\chi_q, \chi_n)]. \quad (10)$$

После преобразований интегралы выражения (4) могут быть записаны в виде

$$\int_0^{+\infty} d\chi \cos(\chi mr)G_{(2)}(\chi_q, \chi) = -\frac{\pi i}{2\text{sh}^2(\pi mr)} \sum_n \text{Res}[\cos(\chi_n mr)G_{(2)}(\chi_q, \chi_n)], \quad (11)$$

где быстроты χ_q удовлетворяют условию (6).

Окончательно получим следующее выражение для функции Грина в релятивистском конфигурационном представлении

$$G_{(2)}(\chi_q, r, r') = G_{(2)}(\chi_q, r_d) - G_{(2)}(\chi_q, r_u), \quad (12)$$

$$G_{(2)}(\chi_q, r) = -\frac{m}{\pi} \int_0^{\infty} d\chi \cos(\chi mr) G_{(2)}(\chi_q, \chi) = i m \frac{\sum \text{Res}[\cos(\chi_n mr) G_{(2)}(\chi_q, \chi_n)]}{2 \text{sh}^2(\pi mr)}. \quad (13)$$

В уравнении (12) введена замена $r_d = r - r'$, $r_u = r + r'$.

Конечное выражение для функции Грина уравнения Кадышевского ($j = 2$) может быть найдено путём вычисления вычетов в полюсах первого порядка и имеет следующий вид:

$$G_{(2)}(\chi_q, r) = \frac{1}{4m \text{ch} \chi_q \text{ch}\left(\frac{\pi mr}{2}\right)} - \frac{i}{m \text{sh}(2\chi_q)} \frac{\text{sh}[(\pi + i\chi_q)mr]}{\text{sh}(\pi mr)}. \quad (14)$$

В случае действительных отрицательных значений быстроты функция Грина может быть представлена как

$$G'_{(2)}(\chi_q, r) = \frac{1}{4m \text{ch} \chi_q \text{ch}\left(\frac{\pi mr}{2}\right)} - \frac{i}{m \text{sh}(2\chi_q)} \frac{\text{sh}[-\pi + i\chi_q)mr]}{\text{sh}(\pi mr)}. \quad (15)$$

Функция (15) отличается от известной функции (14) знаком перед π . В этом особом случае функция Грина оказывается чётной по отношению к вещественной части быстроты χ_q .

Продолжая рассмотрение полюсов функции Грина (2), заметим, что при чисто мнимых значениях χ_q может происходить вырождение полюсов функции Грина. Так, например, при значениях быстроты $\chi_q = i\frac{\pi}{2}$, $\chi_q = i\frac{3\pi}{2}$ происходит вырождение полюсов функции Грина уравнения Кадышевского и число полюсов уменьшается вдвое, а их порядок увеличивается до второго.

Рассматриваемая функция Грина в таком случае равна

$$G_{(2)}\left(i\frac{\pi}{2}, r\right) = G'_{(2)}\left(i\frac{3\pi}{2}, r\right) = -\frac{r}{4 \text{ch}\left(\frac{\pi mr}{2}\right)}. \quad (16)$$

При значении быстроты $\chi_q = i\pi$ происходит частичное вырождение полюсов функции Грина (2), а сама функция принимает следующий вид

$$G_{(2)}(i\pi, r) = \frac{1}{2m \text{sh}(\pi mr)} \left[mr - \text{sh}\left(\frac{\pi mr}{2}\right) \right]. \quad (17)$$

Функции (16) и (17) также могут быть получены путём раскрытия неопределённости вида (0/0) функции (14) при соответствующих значениях быстроты.

СПИСОК ЛИТЕРАТУРЫ

1. Гришечкин, Ю. А. Метод комплексного поворота для двухчастичных уравнений в импульсном представлении и резонансные состояния / Ю. А. Гришечкин, М. С. Данильченко, В. Н. Капшай // Проблемы физики, математики и техники. – 2014. – № 3(20). – С. 21–25.

2. Kadyshevsky, V. G. Quasipotential type equation for there lativistics cattering amplitude / V. G. Kadyshevsky // Nucl. Phys. – 1968. – Vol. B6, № 1. – P. 125–148.

3. Lazauskas, R. Application of the complex scaling method in quantum scattering theory: habilitation thesis / R. Lazauskas. – Strasbourg, 2019. – 133 p.

ОЦЕНКА ВОЗМОЖНОСТИ ОХЛАЖДЕНИЯ МОЩНОЙ МАТРИЦЫ СВЕТОДИОДОВ С ПОМОЩЬЮ РАДИАТОРА ВОЗДУШНОГО ОХЛАЖДЕНИЯ

В. И. Гладковский, В. В. Борушко

*Учреждение образования «Брестский государственный
технический университет», г. Брест, Республика Беларусь*

Рабочие параметры светодиодов в большой степени зависят от температуры. При возрастании температуры прямое напряжение р-п перехода светодиода уменьшается, что может приводить к ухудшению работоспособности и разрушению схемы. Перечисленные факторы приводят к необходимости установления жестких ограничений на рабочий диапазон температур светодиодных элементов, создания специальных цепей температурной защиты и совершенствования способов отвода тепла [1]. Объектом данного исследования являлась светодиодная матрица размерами 1,5·0,6 см², расположенная на алюминиевой подложке. Для повышения эффективности охлаждения светодиодная матрица изначально помещалась в стеклянную трубку с прокачиваемой по ней насосом охлаждающей жидкостью, в качестве которой использовался этиловый спирт [2–5]. Цель работы заключалась в оценке возможности охлаждения рассматриваемой матрицы светодиодов с помощью воздушного радиатора и соответствующий расчёт.

Для проведения вычислений задаём следующие исходные данные:

$\Theta_p = 330$ К – средняя температура основания радиатора;

$Z = 31$ – число ребер радиатора;

$B = 0,025$ м – размер радиатора поперёк рёбер;

$H = 0,03$ м – высота ребра радиатора;

$L = 0,085$ м – размер радиатора вдоль ребра;

$\delta = 0,0005$ м – толщина ребра;